

Produktkonfiguration: RZ73.G0

RZ73.G0: Modul für Superrail-Schiene 48V - DALI - UGR<19 - L=916 - - 6.9W 909.5lm - 3500K - CRI 90 - Weiß/Weiß Durchsichtig

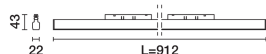
RZ73.G0: Modul für Superrail-Schiene 48V - DALI - UGR<19 - L=916 - - 6.9W 909.5lm - 3500K - CRI 90 - Weiß/Weiß Durchsichtig

Produkt zur linearen Beleuchtung mit einfarbiger LED 3500K CRI90 mit Adapter zur Installation an Superrail-Schiene 48V. Leuchtengehäuse UGR<19 für kontrollierte Leuchtdichte ($L \leq 3000 \text{cd/m}^2$), ideal für Umgebungen, in denen Bildschirme verwendet werden. Space-Optik Opti-Diamond erhältlich sowohl mit Weißem Cover (Weiß-durchscheinend) oder Schwarz (Schwarz-durchscheinend). Der Adapter aus Thermoplast umfasst den DC/DC Treiber-Schaltkreis mit Dimmfunktion DALI. Mithilfe der integrierten Technologie „Power Line“ können die an der Schiene installierten Leuchtmodule einzeln reguliert werden. Hauptkorpus aus extrudiertem Aluminium in Frameless-Ausführung. Schnellanschluss-System für den werkzeuglosen elektrischen und mechanischen Anschluss des Adapters an der Schiene.

Mechanische Befestigung mit Adapter an der Superrail-Schiene 48V.

Farben	Gewicht (Kg)
Weiß/Weiß Durchsichtig (G0)	0.52

Low voltage track



LED-Treiber DC/DC im Adapter integriert - direkter Anschluss an 48V-Stromschiene. Die Versorgungseinheit der Schiene ist separat zu bestellen.

Gemäß der Normen EN60598-1 u. Sondernormen



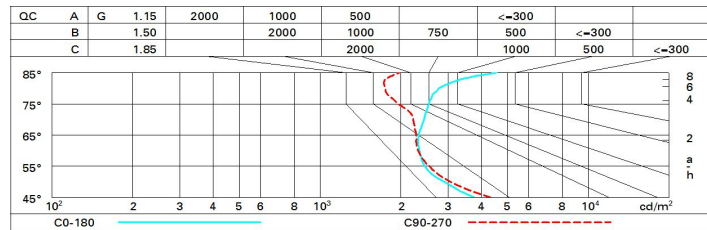
Im System:	910	Lebensdauer LED 1:	> 50,000h - L90 - B10 (Ta 25°C)
W System:	6.9	Eingangsspannung [V]:	48
Im Lichtquelle:	1070	Lampencode:	LED
W Lichtquelle:	5.8	Anzahl Lampen in	1
Lichtausbeute (lm/W, Systemwert):	131.8	Leuchtengehäuse:	
Im im Notlichtbetrieb:	-	ZVEI-Code:	LED
abgegebener Lichtstrom bei/ über einem Winkel von 90° [lm]:	18	Anzahl Leuchtengehäuse:	1
Leuchtenbetriebswirkungsgrad 85 (L.O.R.) [%]:		LED Strom [mA]:	36
CRI (minimum):	90	Leistungsfaktor:	Sehen Montageanleitung
Farbtemperatur [K]:	3500	Minimaler Dimmwert %:	5
MacAdam Step:	3	Überspannungsschutz:	2kV Gleichtaktspannung und 1kV Gegentaktspannung
		Control:	DALI

	Imax=883 cd C85-265 CIE nL 0.85 89.96-99.96-85 UGR 15.9-15.1 DIN A.61 UTE 0.83A+0.02T F*1=893 F*1+F*2=964 F*1+F*2+F*3=989	Lux <table border="1"> <thead> <tr> <th>h</th> <th>d1</th> <th>d2</th> <th>Em</th> <th>Emax</th> </tr> </thead> <tbody> <tr> <td>1</td> <td>1.2</td> <td>1.2</td> <td>684</td> <td>864</td> </tr> <tr> <td>2</td> <td>2.3</td> <td>2.3</td> <td>171</td> <td>216</td> </tr> <tr> <td>3</td> <td>3.5</td> <td>3.5</td> <td>76</td> <td>96</td> </tr> <tr> <td>4</td> <td>4.7</td> <td>4.6</td> <td>43</td> <td>54</td> </tr> </tbody> </table>	h	d1	d2	Em	Emax	1	1.2	1.2	684	864	2	2.3	2.3	171	216	3	3.5	3.5	76	96	4	4.7	4.6	43	54
	h	d1	d2	Em	Emax																						
	1	1.2	1.2	684	864																						
	2	2.3	2.3	171	216																						
	3	3.5	3.5	76	96																						
4	4.7	4.6	43	54																							
α=61°																											

Wirkungsgrad

R	77	75	73	71	55	53	33	00	DRR
K0.8	72	67	63	61	66	63	62	59	70
1.0	76	71	68	65	70	67	67	63	76
1.5	81	77	74	72	76	73	72	69	83
2.0	84	81	79	77	80	78	77	73	88
2.5	86	84	82	80	82	80	79	76	91
3.0	87	85	84	83	84	82	81	78	94
4.0	88	87	86	85	85	84	83	80	96
5.0	89	88	87	87	86	85	84	81	97

Söller-Diagramm



UGR-Diagramm

Corrected UGR values (at 1070 lm bare lamp luminous flux)											
Reflect.: ceiling/cav walls work pl. Room dim x y		viewed crosswise					viewed endwise				
		0.70	0.70	0.50	0.50	0.30	0.70	0.70	0.50	0.50	0.30
		0.50	0.30	0.50	0.30	0.30	0.50	0.30	0.50	0.30	0.30
		0.20	0.20	0.20	0.20	0.20	0.20	0.20	0.20	0.20	0.20
2H	2H	14.1	14.7	14.4	15.0	15.3	14.4	15.0	14.7	15.3	15.6
	3H	14.5	15.1	14.9	15.4	15.7	14.4	14.9	14.7	15.2	15.6
	4H	14.8	15.4	15.2	15.7	16.0	14.3	14.9	14.7	15.2	15.5
	6H	15.1	15.7	15.5	16.0	16.4	14.3	14.8	14.7	15.1	15.5
	8H	15.3	15.8	15.7	16.2	16.6	14.3	14.8	14.7	15.1	15.5
	12H	15.6	16.1	16.0	16.4	16.8	14.2	14.7	14.6	15.1	15.5
4H	2H	14.1	14.6	14.4	14.9	15.3	14.8	15.4	15.2	15.7	16.1
	3H	14.7	15.1	15.1	15.5	15.9	15.0	15.4	15.4	15.8	16.2
	4H	15.1	15.5	15.5	15.9	16.3	15.0	15.5	15.5	15.9	16.3
	6H	15.6	15.9	16.0	16.4	16.8	15.1	15.5	15.6	15.9	16.4
	8H	15.9	16.2	16.4	16.7	17.1	15.1	15.5	15.6	15.9	16.4
	12H	16.3	16.6	16.8	17.0	17.5	15.1	15.4	15.6	15.9	16.4
8H	4H	15.2	15.5	15.6	16.0	16.4	15.3	15.7	15.8	16.1	16.6
	6H	15.8	16.1	16.3	16.6	17.1	15.5	15.8	16.0	16.3	16.8
	8H	16.2	16.5	16.8	17.0	17.5	15.6	15.8	16.1	16.3	16.9
	12H	16.8	17.0	17.4	17.6	18.1	15.7	15.9	16.3	16.4	17.0
12H	4H	15.2	15.5	15.6	15.9	16.4	15.4	15.7	15.9	16.2	16.7
	6H	15.9	16.1	16.4	16.6	17.1	15.6	15.9	16.2	16.4	16.9
	8H	16.3	16.6	16.9	17.1	17.6	15.8	16.0	16.3	16.5	17.1
Variations with the observer position at spacing:											
S =	1.0H	1.8 / -1.1					2.3 / -1.7				
	1.5H	3.5 / -1.3					4.4 / -2.0				
	2.0H	5.1 / -1.4					6.1 / -2.1				